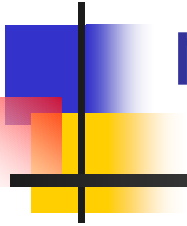
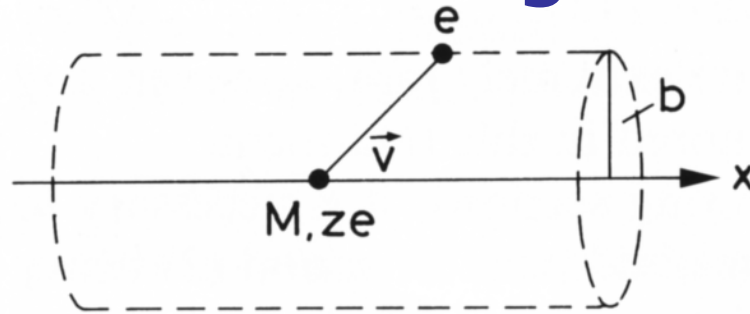


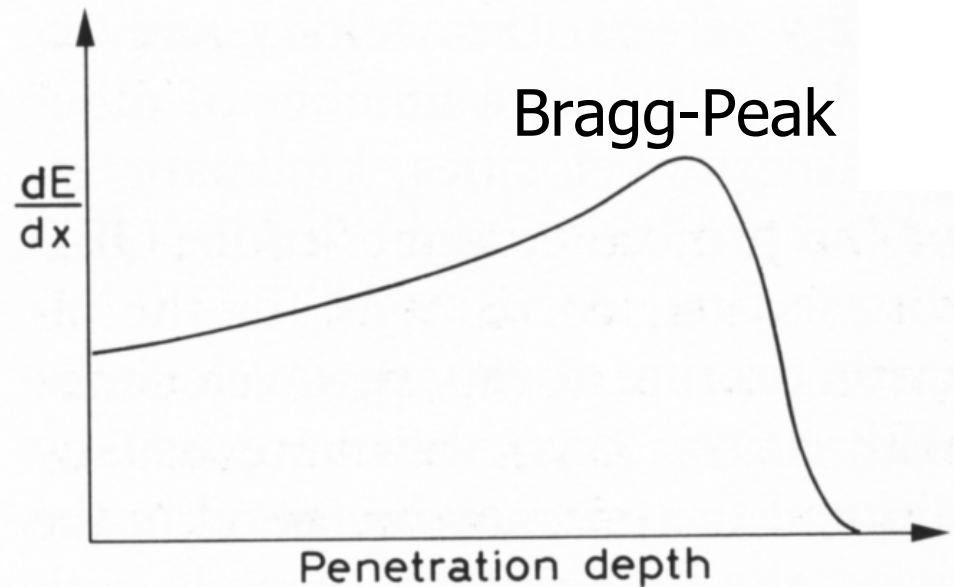
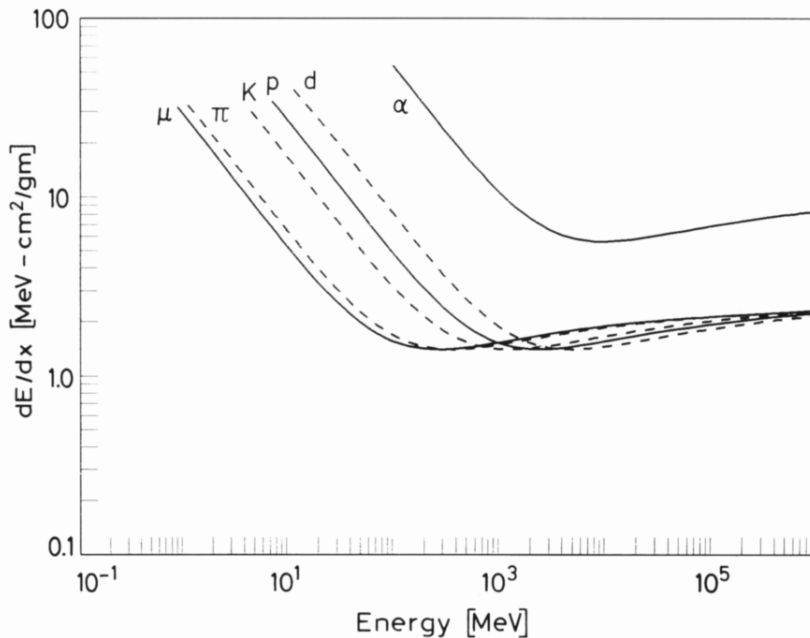
Wechselwirkung geladener Teilchen mit Materie



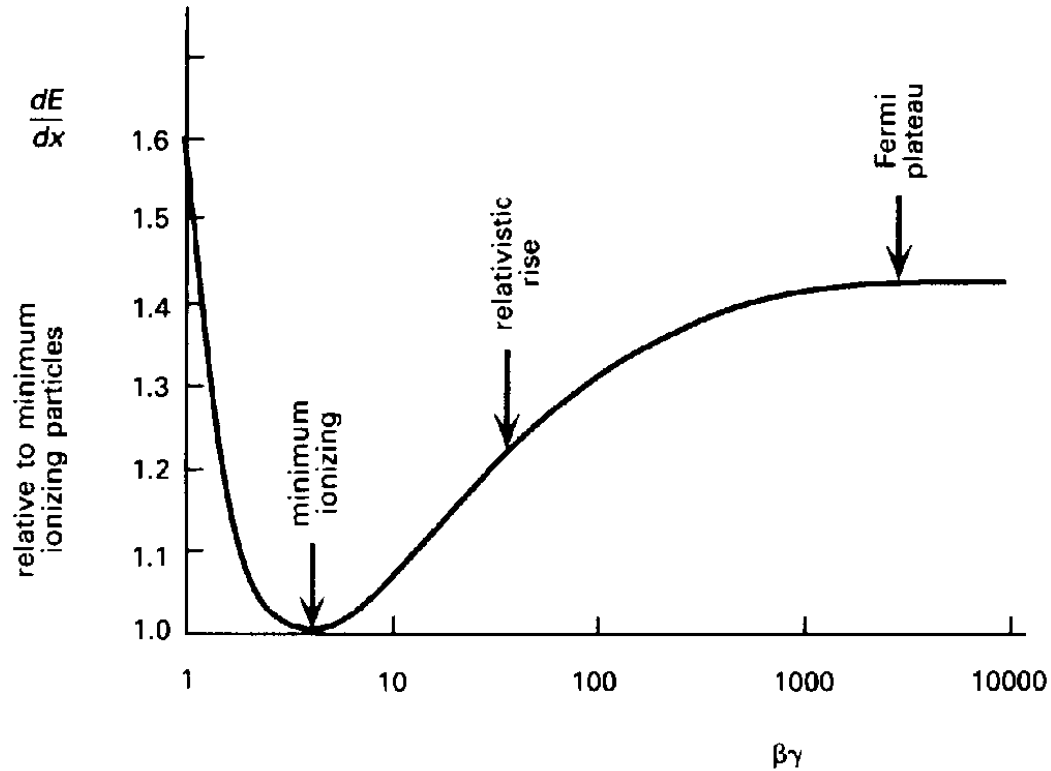
dE/dx für schwere geladene Teilchen



Bragg-Kurve

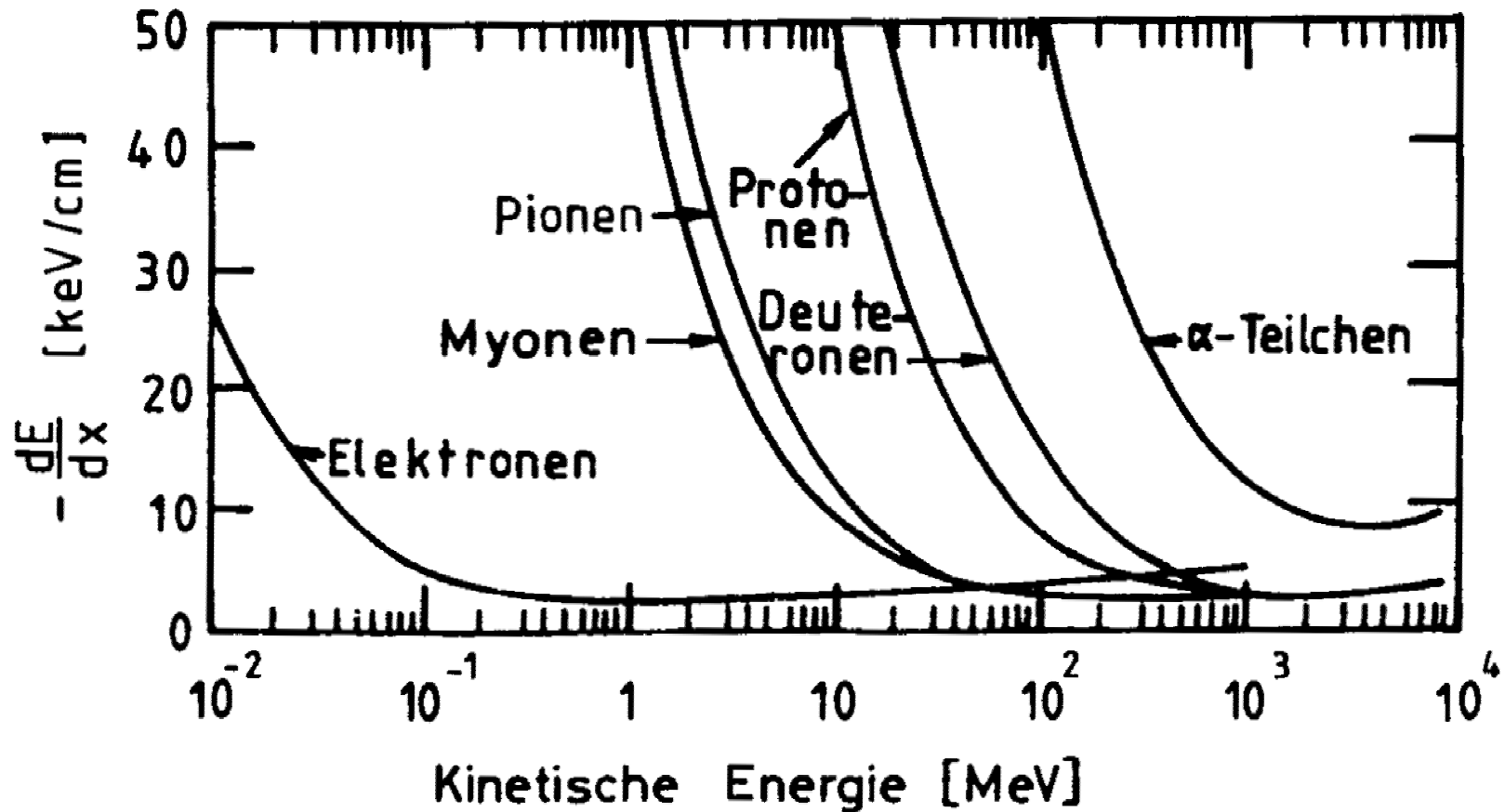


Ionisationsverlust geladener Teilchen

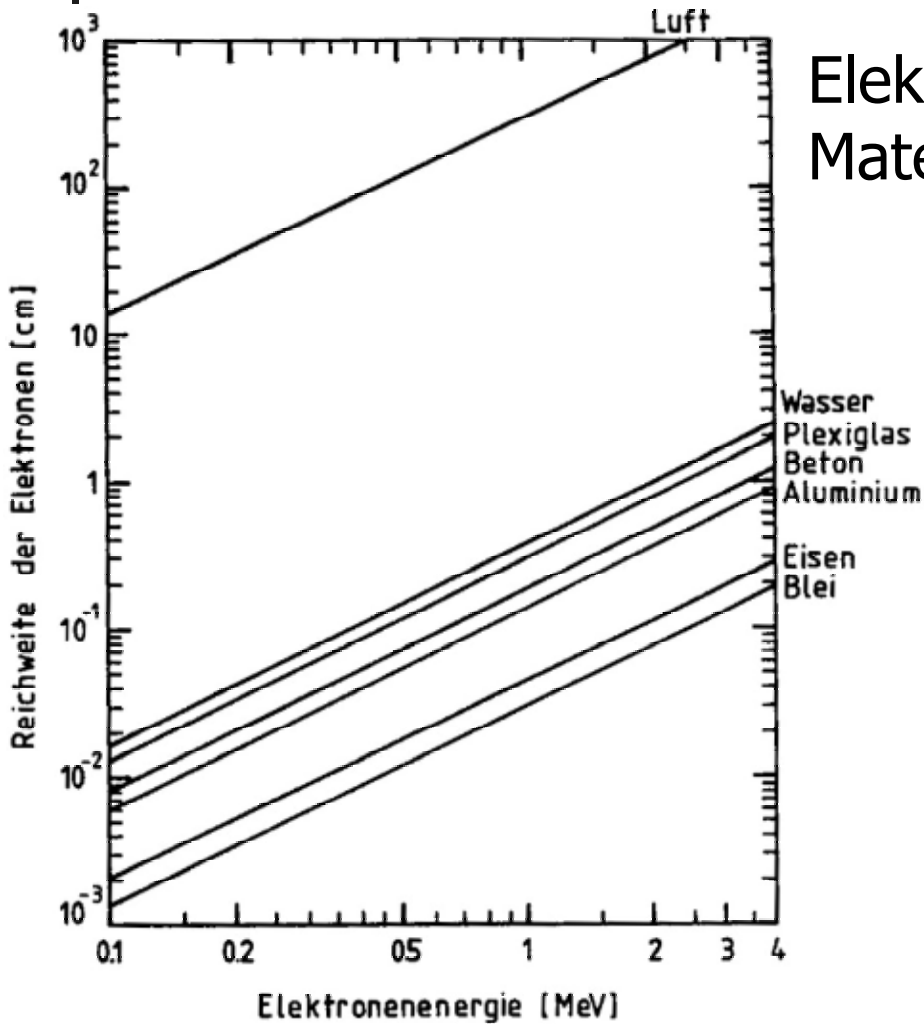


Energieverlust durch Ionisation

Energieverlust geladener Teilchen in Luft



Eindringtiefe



Elektronen in verschiedenen Materialien

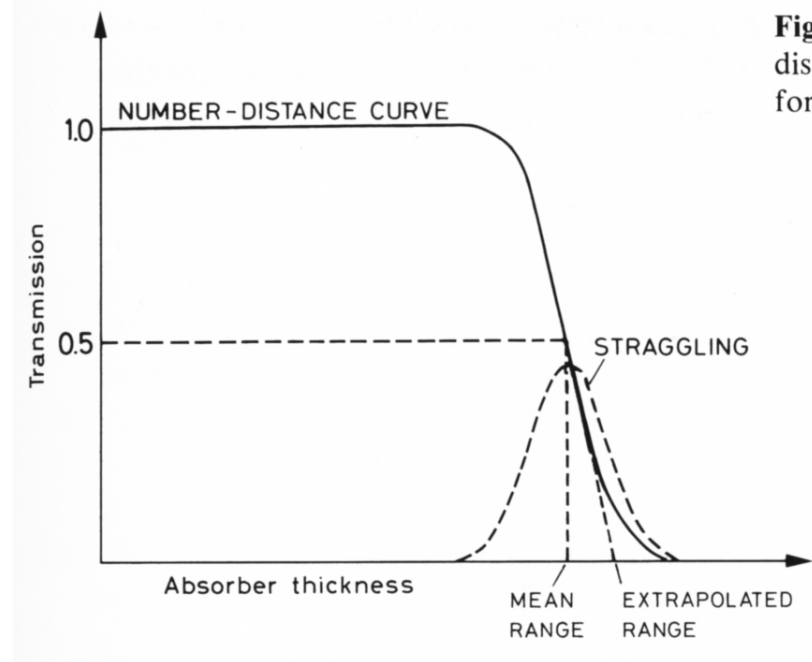
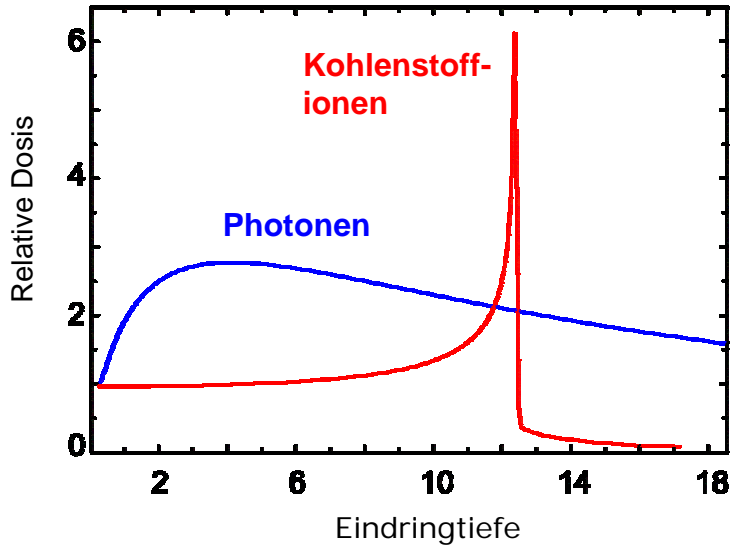


Fig. 2
distrib
form

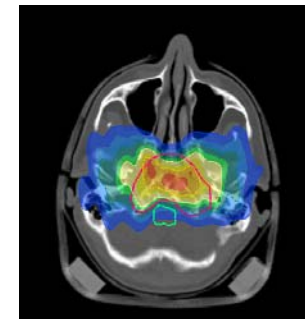
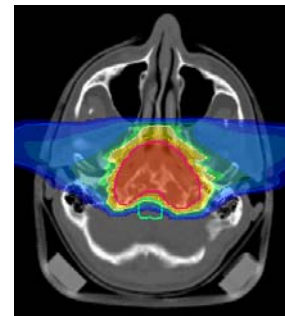
Krebstherapie mit Ionenstrahlen

millimetergenaue Energieabgabe



Bestrahlungsplan

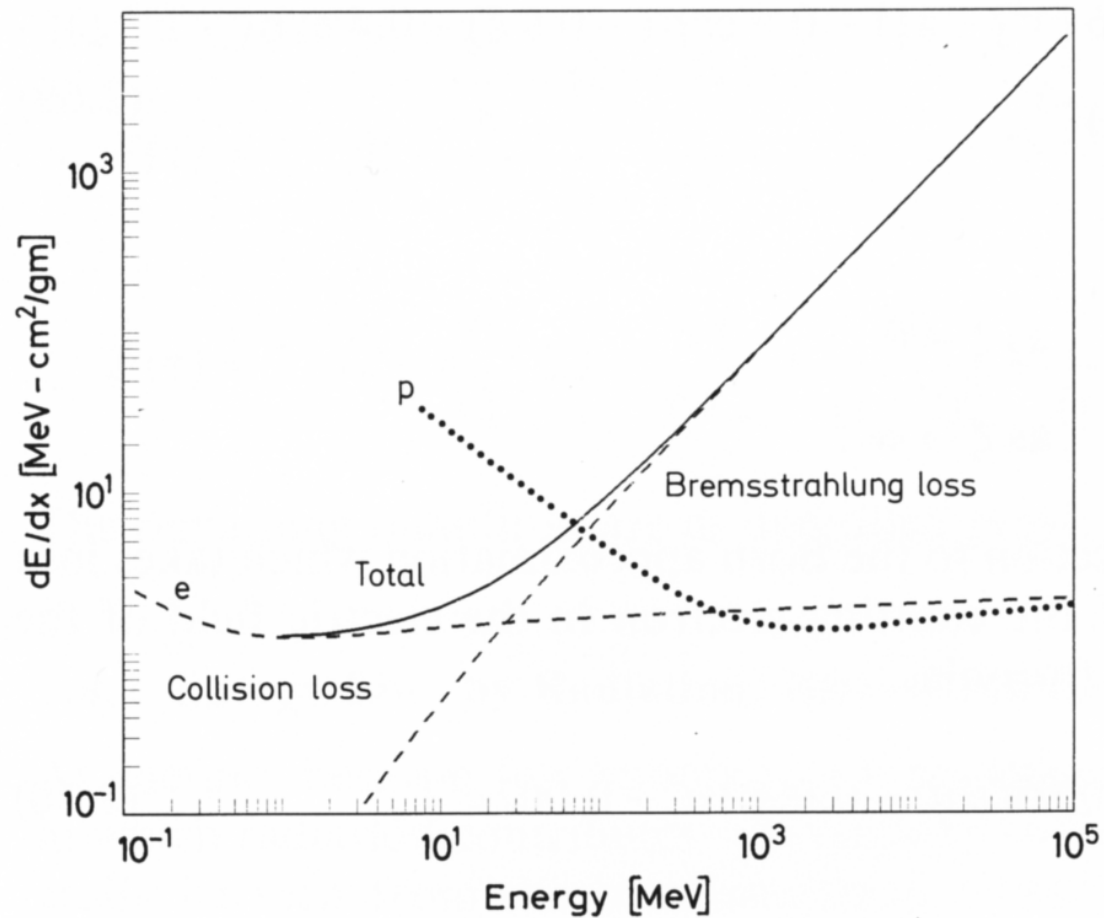
Überwachung
durch PET



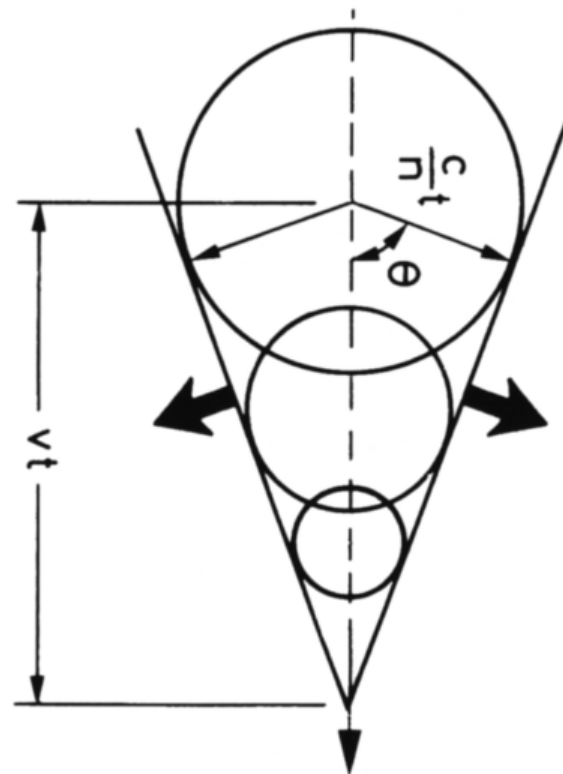
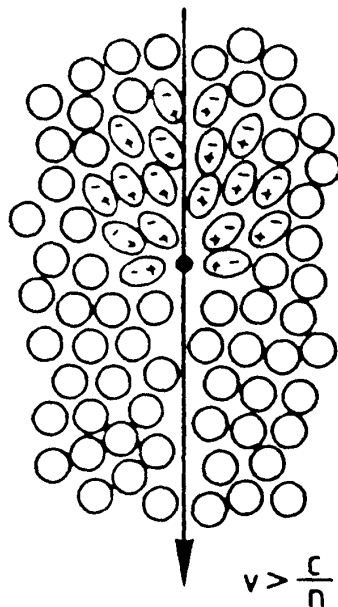
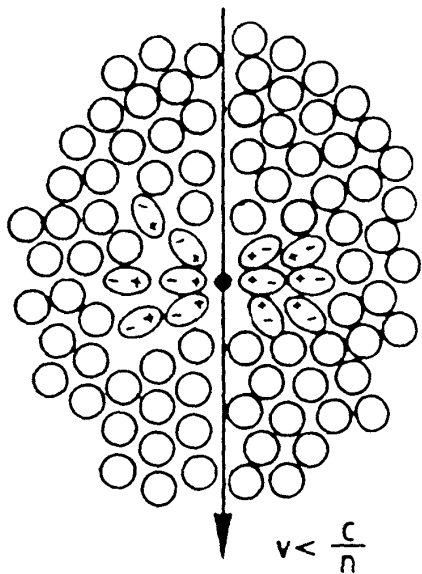
GSI Pilotprojekt:

- bisher 112 Patienten
- sehr geringe Nebenwirkungen
- kein erneutes Tumorwachstum im bestrahlten Bereich

Energieverlust von Elektronen in Cu

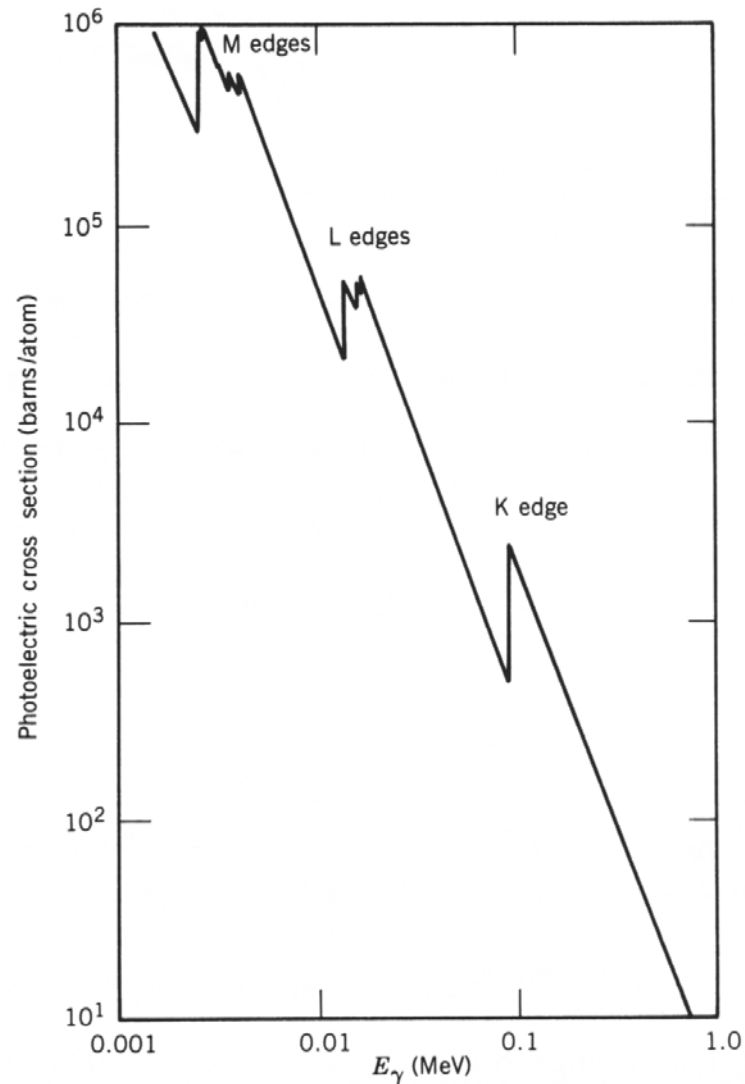


Čerenkov Light

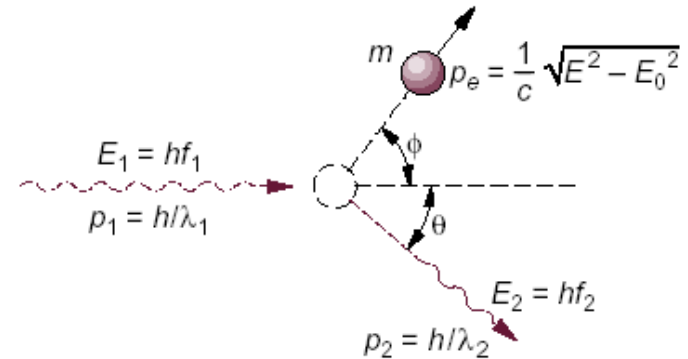


Photoelektrischer Effekt

$$E = h\nu - B.E.$$



Compton Effekt



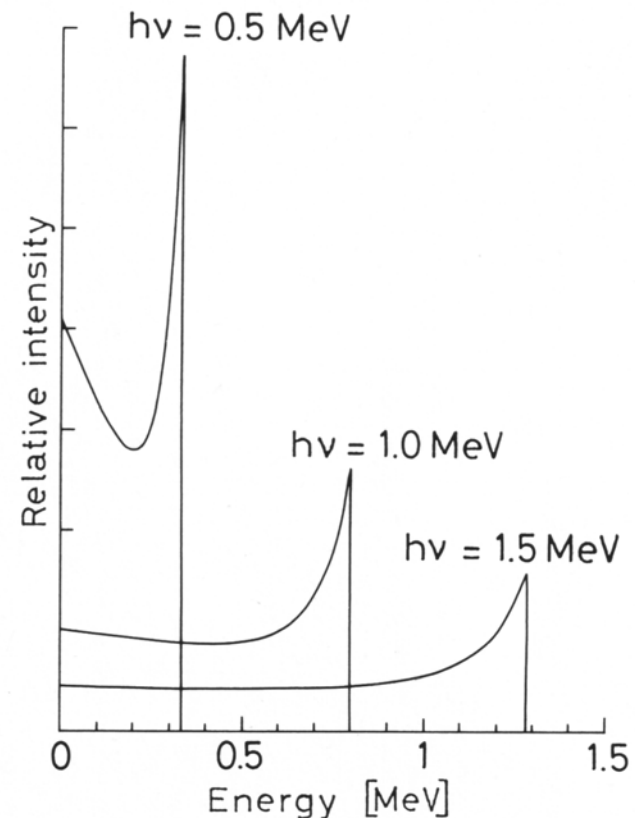
Energie des gestreuten
Gamma-Photons:

$$E_{\gamma}' = \frac{E_{\gamma} \cdot m_e c^2}{m_e c^2 + E_{\gamma} (1 - \cos \theta)}$$

Maximale Energie des
gestreuten Elektrons:

$$T(e^-)_{\max} = \frac{2E_{\gamma}}{m_e c^2 + 2E_{\gamma}}$$

Energiespektrum der Elektronen:



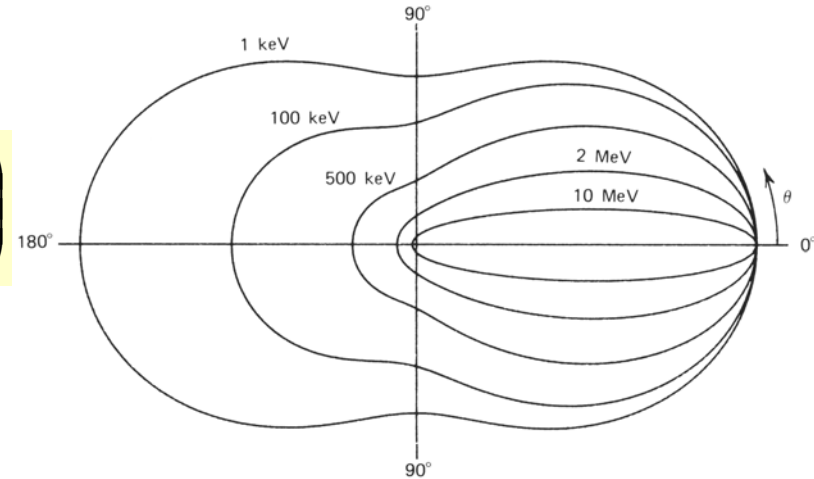
Compton - Effekt

Winkelverteilung

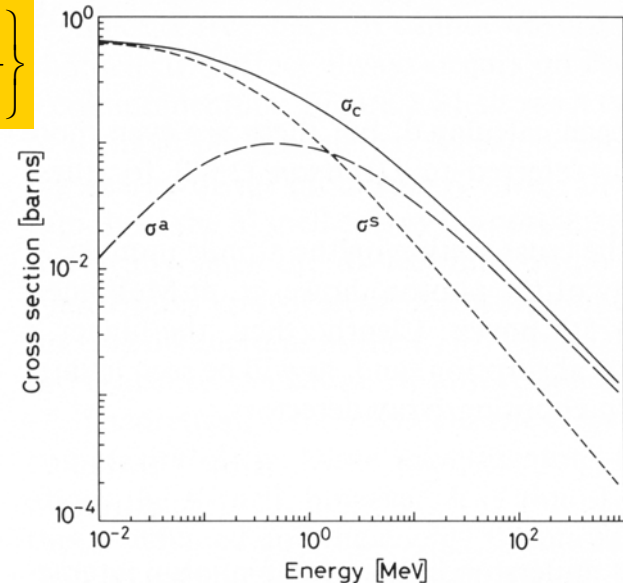
Klein-Nishina Formel:

$$\frac{d\sigma}{d\Omega} = \frac{r_e^2}{2} \frac{1}{[1 + \Gamma(1 - \cos\theta)]^2} \left(1 + \cos^2\theta + \frac{\Gamma^2(1 - \cos\theta)^2}{1 + \Gamma(1 - \cos\theta)} \right)$$

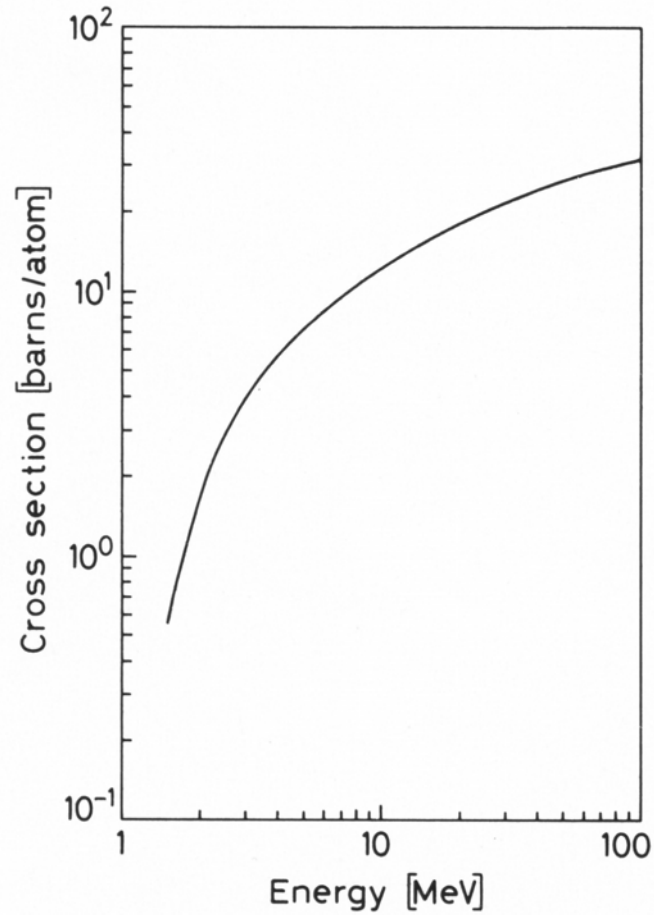
r_e : klassischer Elektronenradius



$$\sigma_C = 2\pi r_e^2 \left\{ \frac{1+\Gamma}{\Gamma^2} \left[\frac{2(1+\Gamma)}{1+2\Gamma} - \frac{1}{\Gamma} \ln(1+2\Gamma) \right] + \frac{1}{2\Gamma} \ln(1+2\Gamma) - \frac{1+3\Gamma}{(1+2\Gamma)^2} \right\}$$



Paarbildung



Wechselwirkung von Photonen

